

Из соотношения (19) следует, что с ростом амплитуды шероховатостей отношение Nu_{max}/Nu_{min} увеличивается. Для $E=1/30$, $Re=10^2$, $\alpha=10^2$ поток около впадины меньше потока около выпуклостей поверхности в 1,23 раза. С ростом числа Рейнольдса отношение Nu_{max}/Nu_{min} увеличивается, но незначительно.

В заключение выражаю благодарность В.Г. ШАХОВУ за помощь и внимание к работе.

Л и т е р а т у р а

1. Ш л и х т и н г Г. Теория пограничного слоя. М., "Наука", 1974.
2. В л а с о в В.Г. Интерполирование по начальным и конечным производным и его приложение к изучению нелинейных колебаний. Собрание трудов, т.5.Д., "Судпромгиз, 1959, с.241-350.
3. Л е в и ч В.Г. Физико-химическая гидродинамика. М., Физматгиз, 1959.

УДК 532.517.4

В.М. Головин, Ю.Л. Файницкий

О ДИССИПАТИВНОМ НАГРЕВЕ ЖИДКОСТИ
ПРИ ТУРБУЛЕНТНОМ ТЕЧЕНИИ В ТРУБЕ

П р и н я т ы е о б о з н а ч е н и я

- R - радиус трубы
 r - текущий радиус
 U - осредненная скорость турбулентного движения
 W - средняя по объемному расходу скорость
 U_m - скорость на оси трубы
 T - температура жидкости

ρ_w, γ_w, μ_w - соответственно, плотность коэффициент теплопроводности и коэффициент вязкости жидкости при температуре стенки

- T_w
 Pz - число Прандтля
 Re - число Рейнольдса

- γ_r - коэффициент турбулентной теплопроводности
 μ_r - коэффициент турбулентной вязкости
 ρ_{2r} - турбулентное число Прандтля

Развитие теории турбулентности в настоящее время связано с получением экспериментальных данных о характеристиках течения жидкости на очень малых расстояниях от обтекаемой поверхности. При обработке результатов измерений, полученных чаще всего с помощью термоанемометра, в качестве определяющей температуры обычно принимается среднее арифметическое температур среды и нити.

При больших числах Рейнольдса порядка 10^6 градиенты скорости на стенке достигают огромных значений порядка 10^5 с^{-1} . Столь высокие градиенты обуславливают местный диссипативный нагрев в ламинарном подслое, в результате которого температура в ядре потока может значительно отличаться от температуры жидкости вблизи стенки. Этот эффект должен учитываться при выборе определяющей температуры, для чего необходимо оценить диссипативный нагрев. Указанная оценка выполняется в настоящей работе.

В качестве расчетной принимается двухслойная модель течения. Профиль скоростей в ядре задается в виде

$$U = U_m \left(1 - \zeta^2\right)^{\frac{U_m - 1}{W}}, \quad (1)$$

где

$$\frac{U_m}{W} = 1 + \frac{0,7}{Re^{0,11}}.$$

Указанный профиль обеспечивает достаточно хорошее согласование с опытом вплоть до границы вязкого подслоя. Соответствующий профилю (1) закон сопротивления

$$\lambda = 0,0115 \left(\frac{U_m}{W}\right)^8 \left(\frac{U_m}{W} - 1\right)^{0,6}$$

с точностью до 2% согласуется с универсальным законом Прандтля

$$\frac{1}{\sqrt{\lambda}} = 2,0 \lg Re \sqrt{\lambda} - 0,8.$$

Уравнение энергии для течения вне подслоя

$$\frac{1}{z} \frac{d}{dz} \left[(\gamma_w + \gamma_r) z \frac{dT}{dz} \right] + (\mu_w + \mu_r) \left(\frac{\partial U}{\partial z} \right)^2 = 0$$

введением переменных

$$\zeta = \frac{z}{R} \text{ и } \eta = \frac{T - T_w}{D}; \quad D = \frac{4 \mu_w W^2}{\gamma_w}$$

при $\frac{\rho_{2w}}{\rho_{2r}} = 1$ преобразуется к виду

$$\frac{d}{d\zeta} \left[\zeta (1 - \zeta^2)^{-\alpha} \frac{d\eta}{d\zeta} \right] + A \zeta^3 (1 - \zeta^2)^{-\alpha} = 0. \quad (2)$$

$$\alpha = \frac{U_m}{W} - 2; \quad A = \left(\frac{U_m}{W}\right)^2 \left(\frac{U_m}{W} - 1\right)^2.$$

Профиль скоростей в подслое принимается линейным

$$U = \frac{\lambda Re W}{16} (1 - \varphi).$$

Соответственно уравнение энергии в подслое

$$\frac{d}{d\varphi} \left(\varphi \frac{d v}{d\varphi} \right) + B \varphi = 0; \quad (3)$$

$$B = \frac{\lambda^2 Re^2}{4s}.$$

Решения уравнений (2) и (3) при крайних условиях

$$v|_{\varphi=1} = 0; \quad \left. \frac{d v}{d\varphi} \right|_{\varphi_0+0} = \left. \frac{d v}{d\varphi} \right|_{\varphi_0-0}; \quad v|_{\varphi_0+0} = v|_{\varphi_0-0}; \quad \left. \frac{d v}{d\varphi} \right|_{\varphi=0} = 0$$

распространялись до точки φ_0 , определяемой из соотношения

$$\frac{\lambda Re W}{16} (1 - \varphi_0) = U_m (1 - \varphi_0^2)^{\alpha+1}.$$

Решение (3) получается в виде:

$$v = \frac{1}{4} B (1 - \varphi^2) + a \ln \varphi;$$

$$a = \frac{1}{2} B \varphi_0^2 - A \frac{(1 - \varphi_0^2)^{\alpha}}{2(\alpha+1)} \left[\frac{1 - (1 - \varphi_0^2)^{\alpha+2}}{\alpha+2} - \varphi_0^2 (1 - \varphi_0^2)^{\alpha+1} \right].$$

Решение уравнения (2) представляется в виде:

$$v = A \left[\frac{1 - (1 - \varphi^2)^{2(\alpha+1)}}{8(\alpha+1)} - \frac{I(\varphi)}{2(\alpha+1)(\alpha+2)} \right] + C,$$

где

$$I(\varphi) = \frac{1}{2} \int_0^{\varphi} \frac{(1 - \varphi'^2)^{\alpha} [1 - (1 - \varphi'^2)^{\alpha+2}]}{\varphi'} d\varphi';$$

$$C = A \left[\frac{I(\varphi_0)}{(\alpha+1)(\alpha+2)} - \frac{1 - (1 - \varphi_0^2)^{2(\alpha+1)}}{8(\alpha+1)^2} \right] + \frac{1}{4} B (1 - \varphi_0^2) + a \ln \varphi_0.$$

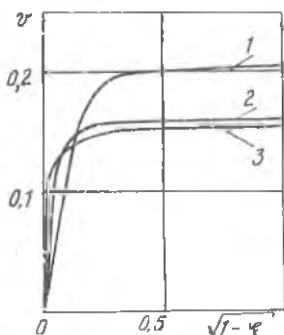
Зависимость $v = f(\varphi, Re)$ приведена на рис. I

Анализ полученных результатов позволяет заключить, что в ядре течения v относительно слабо изменяется с числом Рейнольдса.

В то же время температурный напор

$$T - T_w = \frac{4\mu_w W^2}{2w} z^2$$

возрастает со средней по расходу скоростью примерно пропорциональ-



Р и с.1. Распределение температуры по сечению труб: 1 - $Re = 10^4$; 2 - 10^5 ; 3 - 10^6

но ее квадрату. При течении воздуха в трубе диаметром 100 мм в случае, когда $Re = 10^6$ и $T_w = 300$ К, перепад температур между стенкой и ядром достигает 10^0 . Так как наиболее резко температура изменяется вблизи поверхности, то при обработке экспериментальных данных указанный перепад необходимо учитывать в первую очередь в этой области течения.

УДК 532.526

А.И. Бер, Н.Н. Кортиков

ПРИСТЕНОЧНАЯ ЛАМИНАРНАЯ СТРУЯ В СПУТНОМ ПОТОКЕ НА ИСКРИВЛЕННОЙ ПОВЕРХНОСТИ

Принятые обозначения

x, y - продольная и поперечная координаты

U, V - проекции вектора скорости соответственно на координатные

линии x и y

τ_w - касательное напряжение трения на стенке

ρ - плотность

ν - коэффициент кинематической вязкости

μ - коэффициент динамической вязкости.